7 - 6 北陸・近畿・山陰における地殻変動連続観測(1996年5月1日~10月31日) Continuous Observations of Crustal Deformation in Hokuriku, Kinki and San-in Districts (May 1-October 31, 1996)

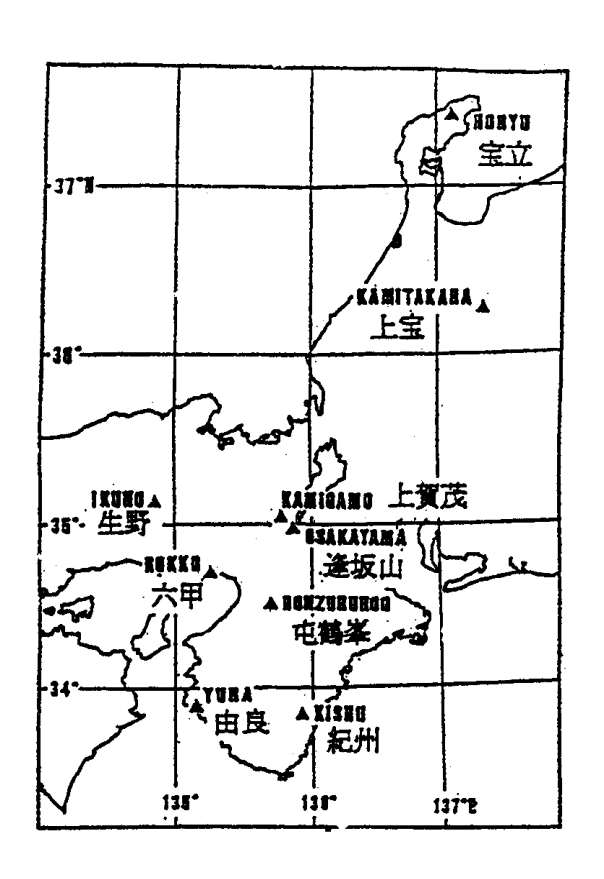
京都大学防災研究所

Disaster Prevention Research Institute Kyoto University

北陸近畿および近畿山陰両観測線の上宝,宝立,逢坂山,上賀茂,屯鶴峯,由良,生野,六甲鶴甲および紀州の9観測点で観測された地殻ひずみおよび傾斜について報告する。観測点の位置は第1図に示す通りである。

上宝のひずみ変化(第3図)は,30mのひずみ計の端点(E1,2,3)および中間点(EC1,2,3)での記録であり,ひずみが一様であればそれぞれ一致するべきものである。EC1では6月から8月にかけて E1にくらべのびの傾向が大きく,また EC3は E3にくらべ変化量が大きいが,いずれも従来よりこれらの成分に見られる特徴である。

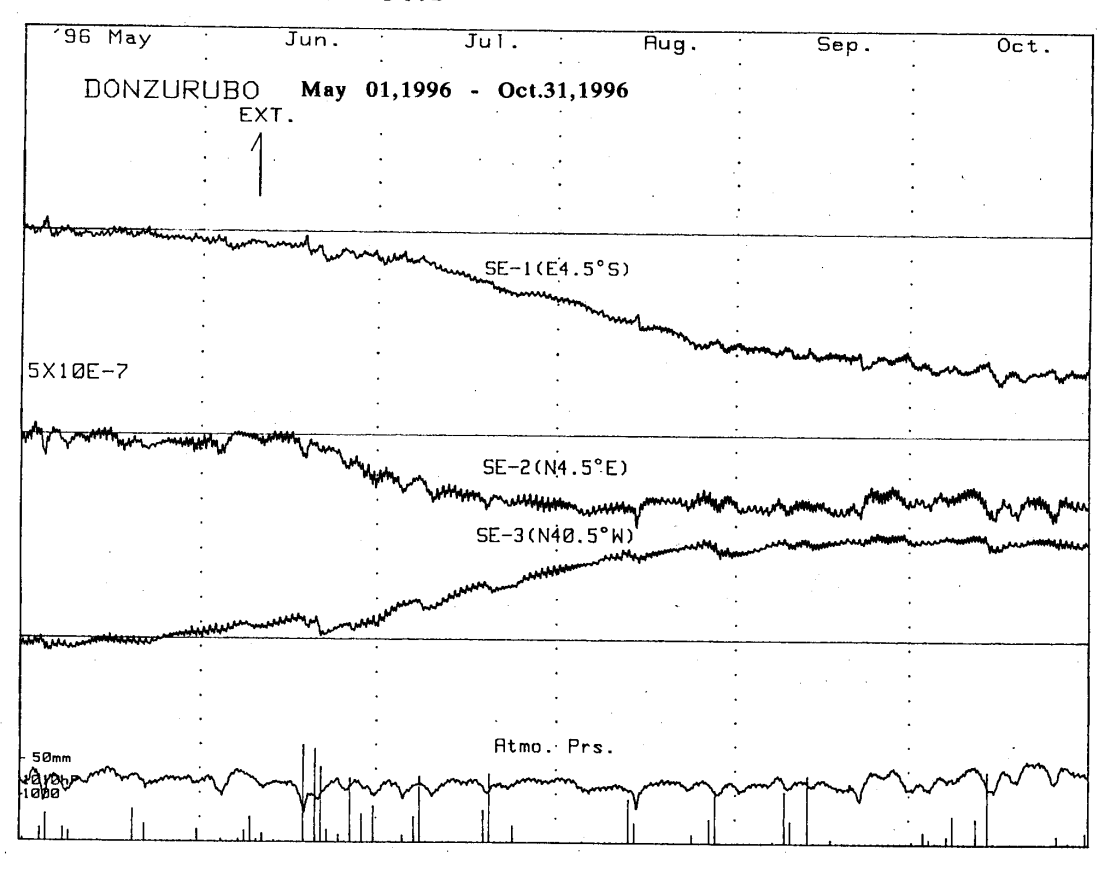
宝立(第4図)のひずみ計 E2 は 8 月以降不調であり,生野のひずみ計 N17°E成分は 7 月後半以降欠測である。紀州における水管傾斜計はこの期間故障が多く,このため本報告からは省いた。同じ紀州のひずみ計 N132°E成分にみられる 10 月の変化の加速的な傾向については,他の成分が降雨による変化として解釈できるのに対して,異常な傾向である。12 月 12 日現在でもこの加速傾向は続いており,器械的な原因である可能性が高い。N80°E成分では現在のところこれに対応するような変化は見られない。



第1図 地殻活動総合観測線の観測点位置図

Fig. 1 Observation stations consisting of the monitoring chains.

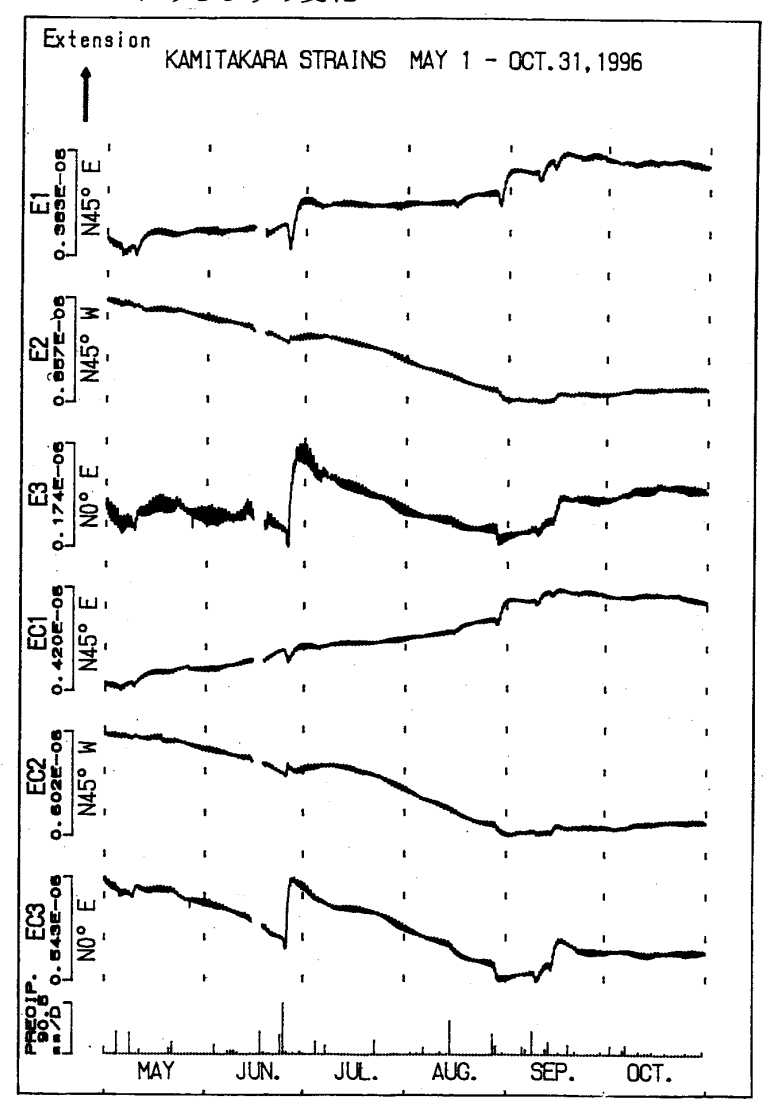
屯鶴峯におけるひずみ変化



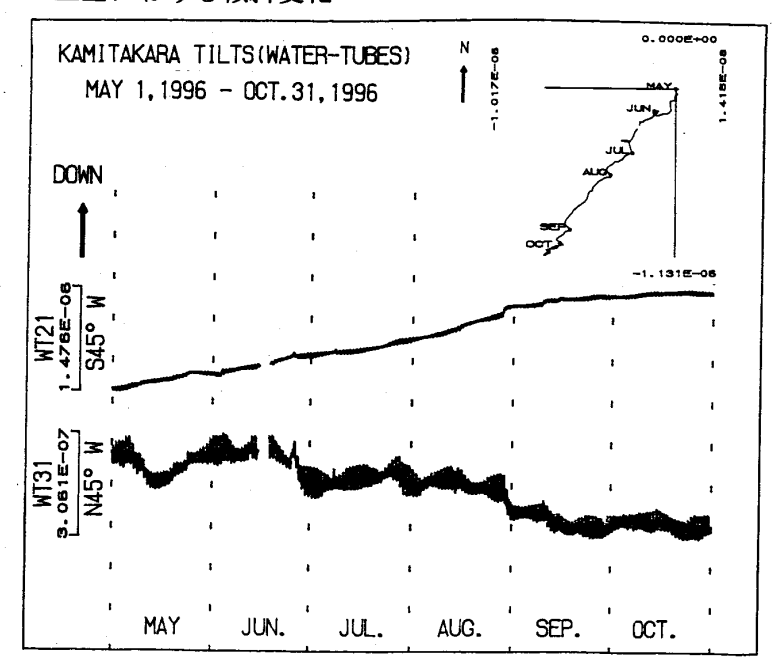
第2図 屯鶴峯におけるひずみ変化

Fig. 2 Strain change at Donzurubo.

上宝におけるひずみ変化



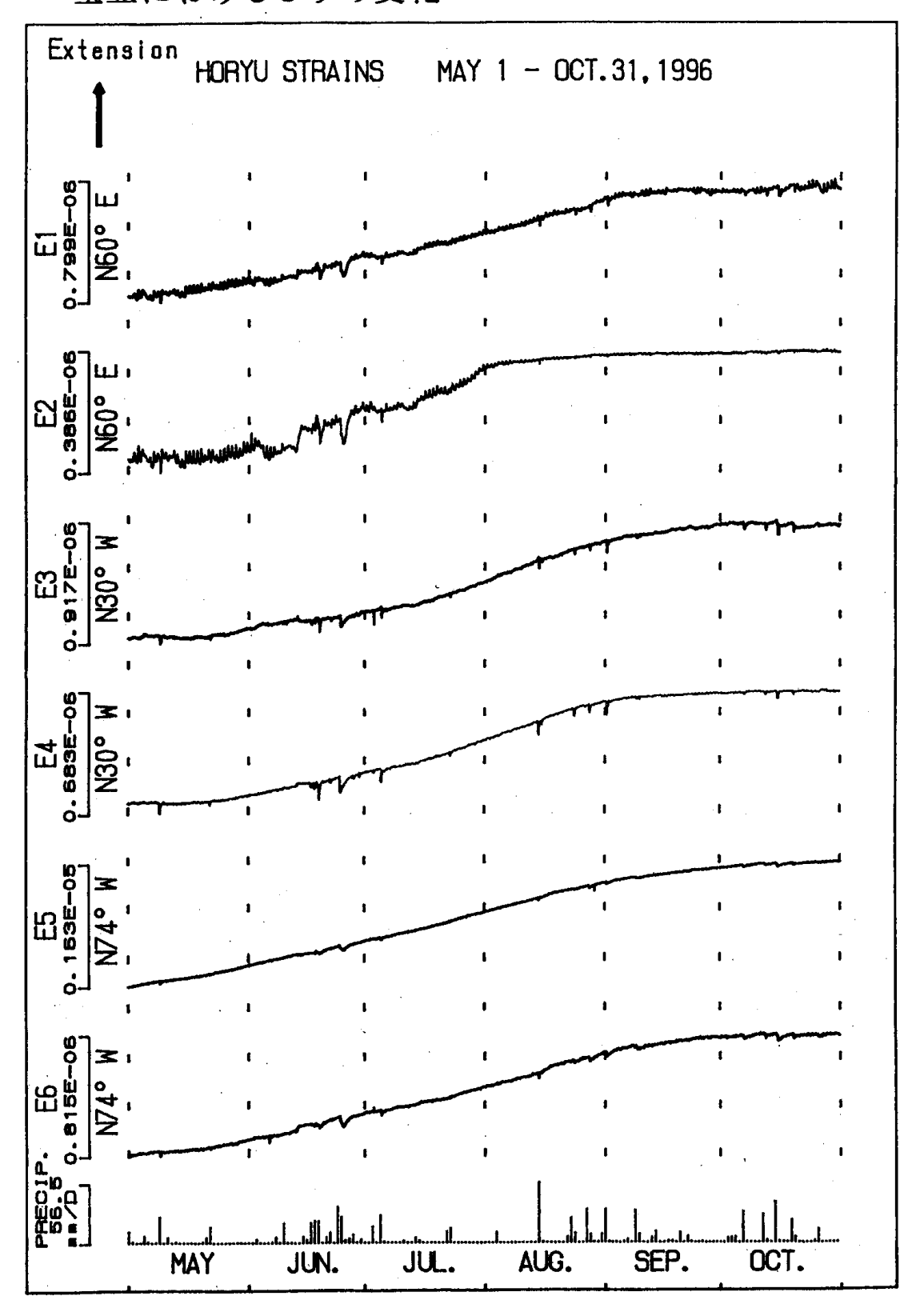
上宝における傾斜変化



第3図 上宝における傾斜およびひずみ変化

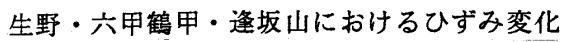
Fig. 3 Tilt and strain changes at Kamitakara.

宝立におけるひずみ変化

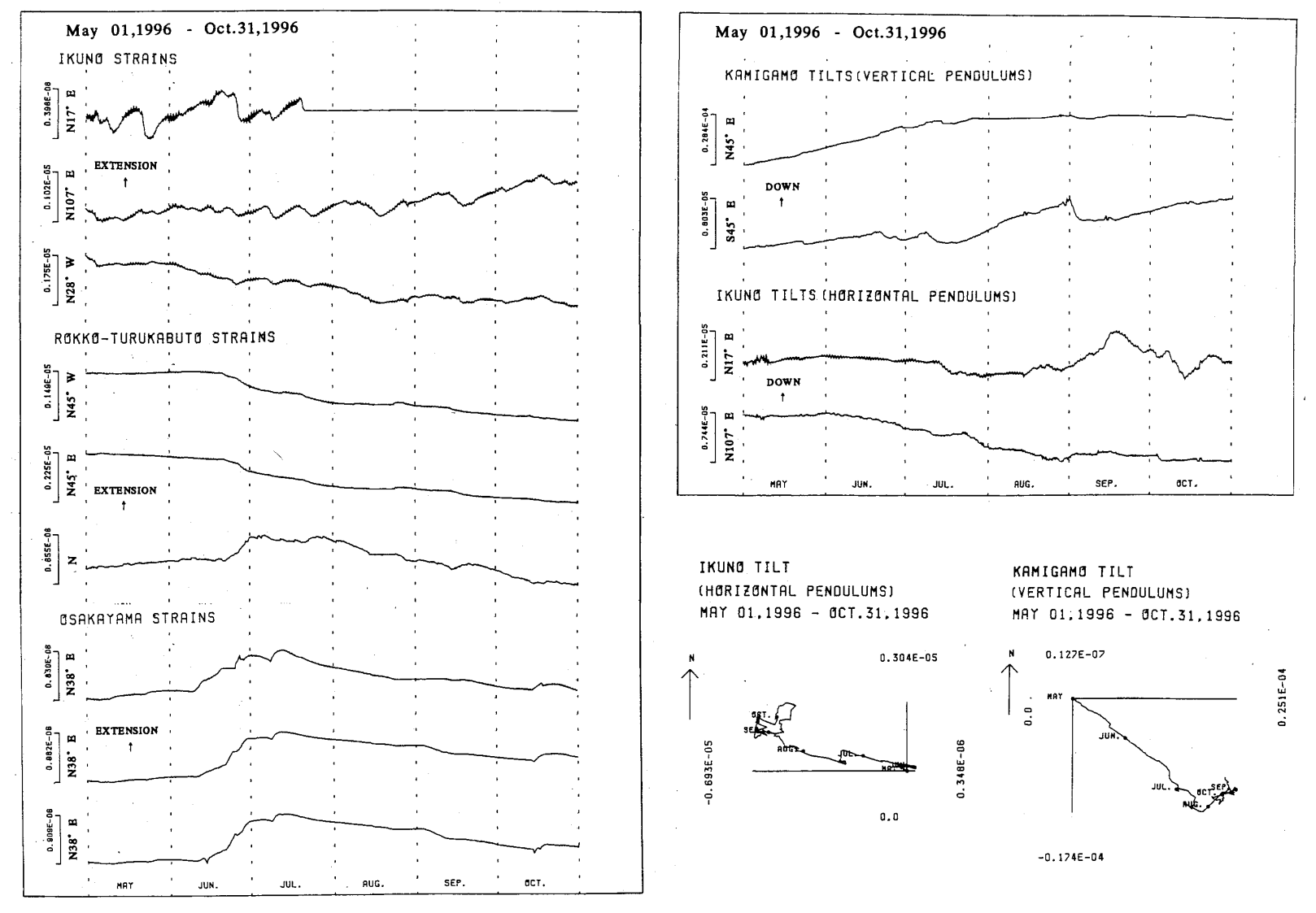


第4図 宝立におけるひずみ変化

Fig. 4 Strain change at Horyu.



生野・上賀茂における傾斜変化



生野,六甲鶴甲,逢坂山,上賀茂におけるひずみおよび傾斜変化

Fig. 5 Strain and tilt changes at Ikuno, Rokko - tsurukabuto, Osakayama and Kamigamo.

由良におけるひずみ変化

YURA STRAINS May 01,1996 - Oct.31,1996

STRAINS May 01,1996 - Oct.31,1996

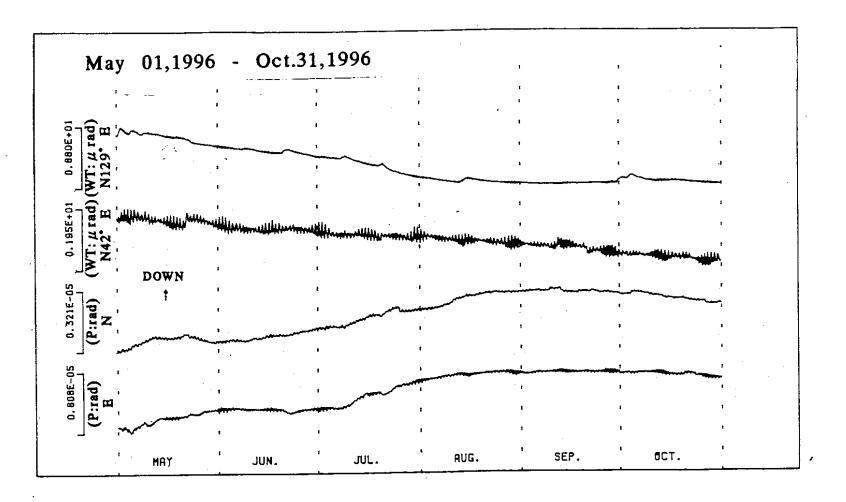
EXTENSION

EXTENSION

SEP.

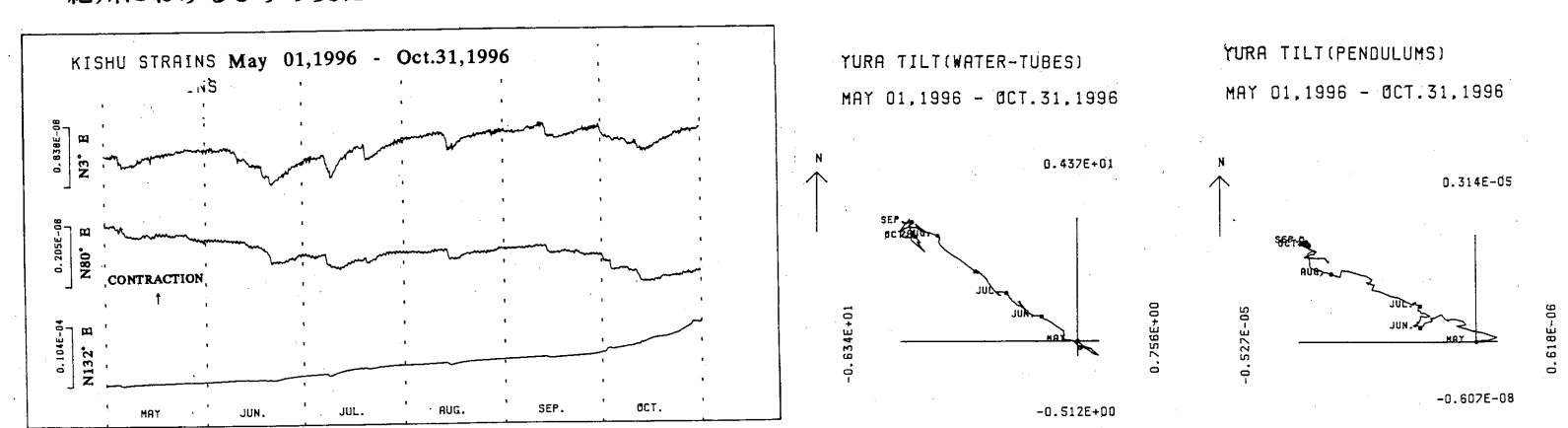
act,

由良における傾斜変化



紀州におけるひずみ変化

CONTRACTION



第6図 由良,紀州におけるひずみおよび傾斜変化

Fig. 6 Strain and tilt changes at Yura and Kishu.